

Effect of Foliar Application of Putrescine on the Morphological and Physiological Characteristics of Lime Seedlings (*Citrus aurantifolia*) under Drought Stress

E. Khaleghi^{1*}, M. Zamani Dehbari², N. Moallemi³

1, 2 and 3- Associate Professor, M.Sc. Student and Professor, Department of Horticultural Science, Faculty of Agriculture, Shahid Chamran University of Ahvaz, Ahvaz, Iran, respectively.

(*- Corresponding Author Email: khaleghi@scu.ac.ir)

Received: 17-08-2023
Revised: 15-12-2023
Accepted: 16-12-2023
Available Online: 18-12-2023

How to cite this article:

Khaleghi, E., Zamani Dehbari, M., & Moallemi, N. (2024). Effect of foliar application of putrescine on the morphological and physiological characteristics of lime seedlings (*Citrus aurantifolia*) under drought stress. *Journal of Horticultural Science*, 38(1), 195-211. (In Persian with English abstract). <https://doi.org/10.22067/jhs.2023.83972.1284>

Introduction

Citrus fruits are one of the most commercial fruit products in the world, whose growth and production are affected by abiotic stresses. Drought stress is one of the most important abiotic stresses that affects all the vital processes of the plant. One of the ways to moderate the negative effects of drought stress is the use of polyamines. Polyamines are a group of biochemical compounds that are used as one of the most effective compounds to resist environmental stresses. Polyamines have a wide role in various plant growth processes, such that they play a significant role in modulating various types of biotic and abiotic stresses. Studies have shown that application of putrescine increases the fresh and dry weight of the shoot and root parts, leaf relative water content, photosynthetic pigments, leaf surface, and photosynthesis in plants under drought stress.

Materials and Methods

This study was conducted to investigate the effect of different levels of putrescine (0, 0.5, 1 and 2 mM) and different levels of irrigation (100, 75 and 50% of evotranspiration potential) on morpho-physical traits of lime seedlings as a factorial experiment based on randomized complete block design with 3 replications.

Two-year-old lime seedlings were obtained from a commercial nursery located in Dezful city (approved by the Khuzestan Agricultural Jihad Organization). Then, they were located in 15-kilogram pots and kept for 2 months in the greenhouse to adapting to the environmental conditions. In order to apply the irrigation regime, 4 pots were considered as reference plants and the amount of irrigation water was determined by weighing these pots. First, the weight of reference pots was calculated in field capacity mode. Then, after 7 days, the pots were weighed again and the difference between the primary and secondary weights was considered as the amount of irrigation water of 100% plant evaporation and transpiration, and according to that, 75% irrigation and 50% evaporation and transpiration potential were applied. The first foliar spraying with putrescine was done at first of March in Field capacity (foliar spraying was done once every month for 4 months from March to June). At the end of the experiment, the fresh and dry weight of root and shoot, number of leaves, relative water content, leaf water potential, photosynthesis, transpiration, stomatal conductance, were measured. Statistical data analysis was done using MSTATC software and, Duncan's multi-range test was used to mean comparison at the 5% probability level.

Results and Discussion



©2023 The author(s). This is an open access article distributed under [Creative Commons Attribution 4.0 International License \(CC BY 4.0\)](https://creativecommons.org/licenses/by/4.0/), which permits use, sharing, adaptation, distribution and reproduction in any medium or format, as long as you give appropriate credit to the original author(s) and the source.

<https://doi.org/10.22067/jhs.2023.83972.1284>

Results showed that the rate of photosynthesis, stomatal conductance, relative water content of leaves, fresh and dry weight of aerial part and root decreased by reducing the amount of irrigation from 100 to 75 and 50%, of ETcrop. The reduction of growth parameters under drought stress can be due to the closing of the stomata and the reduction of carbon dioxide emission into the leaves, which can lead to lower levels of chlorophyll and photosynthesis, induction of oxidative stress, and finally less growth in plants. It has also been stated that the decrease in growth caused by drought stress in the initial stages of the stress can be due to the decrease in cell growth and development due to the decrease in turgor pressure and the decrease in the intensity of photosynthesis due to the closing of stomata. Also, the results showed that foliar spraying with 2 mM putrescine increased photosynthesis, stomatal conductance, relative water content of leaves, wet and dry weight of aerial parts and roots at all irrigation levels. The researchers believed that the increase in growth parameters, relative water content and photosynthetic pigments with putrescine foliar spraying can be related to the antioxidant properties of putrescine and its osmolality role in dry conditions. Other researches have shown that putrescine may modulate certain ion channels and increase the permeability of the membrane to calcium and cause a decrease in the entry of potassium into the membrane, which causes a decrease in the exit of water from the cell. Also, putrescine may increase leaf water potential and leaf content through osmotic regulation of the plant by increasing proline.

Conclusion

In general, the results showed that foliar spraying of putrescine, especially at 2 mM concentration has the greatest effect on increasing growth parameters, including fresh and dry weight of shoots and roots, leaf area, increasing the relative water content, leaf water potential and Gas exchanges and reducing the amount of ion leakage under drought stress conditions.

Keywords: Growth indices, Ion leakage, Photosynthesis, Stomatal conductance, Transpiration

اثر محلول پاشی برگی پوترسین بر خصوصیات مورفولوژیک و فیزیولوژیک دانه‌های لیموترش (*Citrus aurantifolia*) تحت تنش خشکی

اسماعیل خالقی^{۱*} - معصومه زمانی دهبری^۲ - نوراله معلمی^۳

تاریخ دریافت: ۱۴۰۲/۰۵/۲۶

تاریخ پذیرش: ۱۴۰۲/۰۹/۲۵

چکیده

مرکبات یکی از تجاری‌ترین محصولات میوه در سراسر جهان به شمار می‌روند که رشد و تولید آن تحت تأثیر تنش‌های غیرزنده قرار می‌گیرد. تنش خشکی از مهم‌ترین تنش‌های غیرزنده می‌باشد که همه‌ی فرآیندهای حیاتی گیاه را تحت تأثیر قرار می‌دهد. یکی از روش‌های تعدیل‌کننده اثرات منفی تنش خشکی، استفاده از پلی‌آمین‌ها می‌باشد. لذا آزمایشی جهت بررسی اثر سطوح مختلف پوترسین (صفر، ۰/۵، ۱ و ۲ میلی‌مولار) و سطوح مختلف آبیاری (۷۵، ۱۰۰ و ۵۰ درصد پتانسیل تبخیر و تعرق) بر خصوصیات مورفولوژیک و فیزیولوژیک دانه‌های ۲ ساله لیموترش به صورت آزمایش فاکتوریل در قالب طرح بلوک‌های کامل تصادفی با ۳ تکرار طی سال‌های ۹۹-۱۳۹۸ در گلخانه دانشکده کشاورزی دانشگاه شهید چمران اهواز انجام گرفت. نتایج آزمایش نشان داد که با کاهش میزان آب شاخص‌های رشدی کاهش یافت بگونه‌ای که کمترین مقدار وزن تر و خشک‌ریشه و اندام‌های هوایی، تعداد برگ و سطح برگ دانه‌های لیموترش در آبیاری ۵۰ درصد تبخیر و تعرق گزارش گردید درحالی که استفاده از پوترسین به ویژه در غلظت ۲ میلی‌مولار اثر مثبتی بر صفات رشدی دانه‌های لیموترش در شرایط تنش خشکی داشت. علاوه بر این، طی تنش خشکی ۵۰ و ۷۵ درصد تبخیر و تعرق، میزان محتوای نسبی آب برگ، فتوسنتز، تعرق، هدایت روزنه‌ای، دی‌اکسید کربن زیر روزنه کاهش یافت درحالی که استفاده از پوترسین سبب افزایش این خصوصیات فیزیولوژیک گردید. نشت یونی نیز تحت تأثیر تنش خشکی افزایش و تحت تیمار پوترسین کاهش یافت. بطور کلی نتایج نشان داد که کاربرد برگی پوترسین به خصوص در غلظت ۲ میلی‌مولار در تمام سطوح آبیاری می‌تواند موجب بهبود خصوصیات مورفولوژیک و فیزیولوژیک دانه‌های لیموترش تحت شرایط تنش خشکی گردد.

واژه‌های کلیدی: تعرق، شاخص‌های رشدی، فتوسنتز، نشت یونی، هدایت روزنه‌ای

مقدمه

این میزان تولید می‌تواند تحت تأثیر تنش‌های غیرزنده از جمله خشکی قرار بگیرد (Tripoli et al., 2007).

تنش خشکی به عنوان یکی از مهم‌ترین تنش‌های محیطی غیرزنده در تولید محصولات کشاورز در جهان شناخته شده است و آثار مخربی بر رشد و نمو گیاهان و فرآیندهای مختلف فیزیولوژیک و بیوشیمیایی دارد (Yordanov et al., 2000; Fifae et al., 2022). تنش خشکی زمانی اتفاق می‌افتد که میزان تعرق در گیاه از میزان جذب آب توسط گیاه فراتر رود (Wu & Zou, 2009). تنش خشکی، اندازه برگ‌ها، وزن خشک اندام‌های هوایی گیاه، سطح برگ، تعداد برگچه و فشار

لیموترش (*Citrus aurantifolia*) از جنس *Citrus* می‌باشد. این گیاه، از مناطق گرمسیری منشأ یافته است و گستره کشت آن نواحی گرمسیری و نیمه گرمسیری برخوردار از درجه حرارت بیشتر از ۳- درجه سانتی‌گراد است. درخت لیموترش، بسیار پر رشد، دارای رشد عمودی و شاخه‌های پراکنده و پوشیده از تیغ است (Fotahi Ghazvini & Fatahi Moghadam, 2016). این محصول جزء بارزترین، اقتصادی‌ترین و مهم‌ترین محصول باغبانی در سراسر جهان به شمار می‌رود و میزان تولید آن در کشورهای مختلف جهان بسیار بالاست که

۱، ۲ و ۳- به ترتیب دانشیار، دانشجوی سابق کارشناسی ارشد و استاد گروه علوم باغبانی، دانشکده کشاورزی، دانشگاه شهید چمران اهواز، اهواز، ایران

(Email: khaleghi@scu.ac.ir)

(*- نویسنده مسئول)

مواد و روش‌ها

به منظور بررسی اثر غلظت‌های مختلف پوترسین و سطوح مختلف آبیاری بر دانه‌های جوان لیموترش (*Citrus aurantifolia*) آزمایشی به صورت فاکتوریل در قالب طرح بلوک‌های کاملاً تصادفی در سه تکرار (هر تکرار با ۲ گیاه) در گلخانه دانشکده کشاورزی دانشگاه شهید چمران اهواز در سال ۱۳۹۹-۱۳۹۸ انجام شد. دانه‌های دوساله لیموترش از نهالستان تجاری واقع در شهر دزفول (مورد تأیید سازمان جهاد کشاورزی خوزستان) تهیه شد و پس از انتقال به اهواز به گلدان‌های ۱۵ کیلویی با بستر کشت مخلوط خاکی (یک سوم خاک زراعی، یک سوم ماسه و یک سوم کود حیوانی پوسیده) منتقل و به مدت ۲ ماه در گلخانه به منظور سازگاری با شرایط محیطی نگهداری شد. پس از استقرار نسبت به شرایط جدید اثر غلظت‌های مختلف پوترسین شامل صفر (شاهد)، ۰/۵، ۱، ۲ میلی‌مولار روی برخی از صفات مورفولوژیک و فیزیولوژیک دانه‌های دوساله‌ی لیموترش در سه رژیم مختلف آبیاری ۱۰۰، ۷۵ و ۵۰ درصد پتانسیل تبخیر و تعرق گیاه بررسی شد. به منظور اعمال رژیم آبیاری، ۴ گلدان به عنوان گیاه مرجع در نظر گرفته شد و با توزین این گلدان‌ها میزان آب آبیاری مشخص شد. ابتدا وزن گلدان‌های مرجع در حالت ظرفیت مزرع‌ای محاسبه گردید. سپس، بعد از گذشت ۷ روز مجدداً گلدان‌ها وزن شدند و اختلاف وزن اولیه و ثانویه به عنوان میزان آب آبیاری ۱۰۰ درصد تبخیر و تعرق گیاه در نظر گرفته شد و برحسب آن آبیاری ۷۵ و ۵۰ درصد پتانسیل تبخیر و تعرق اعمال گردید (Arji et al., 2002; Shafiei et al., 2019). اولین محلول پاشی با پوترسین در اول اسفند در حالت ظرفیت مزرع انجام شد (محلول پاشی هر یک ماه یکبار و به مدت ۴ ماه از اسفند تا خردادماه انجام شد).

اعمال تنش تا ظهور علائم تنش در گیاهان ادامه یافت و در پایان آزمایش (۳۰ خرداد ۱۳۹۹) ارتفاع، تعداد برگ اندازه‌گیری شد و بعد از جدا کردن اندام هوایی و ریشه و شست‌وشوی ریشه، بلافاصله وزن‌تر اندام هوایی و ریشه با ترازوی دیجیتال اندازه‌گیری شد. وزن خشک بعد از قرار دادن اندام هوایی و ریشه در پاکت کاغذی در آون با دمای ۷۰ درجه سانتی‌گراد به مدت ۷۲ ساعت، با ترازوی دیجیتال اندازه‌گیری شد. سطح برگ با استفاده از دستگاه اندازه‌گیری سطح برگ (Leaf area meter) مدل Delta-T Divises LTD ساخت کشور انگلستان اندازه‌گیری شد. جهت اندازه‌گیری محتوای نسبی آب برگ از روش ریچی و همکاران (Ritchie et al., 1990) استفاده شد. میزان ۰/۵ گرم از بافت تر جدا و به مدت ۲۴ ساعت در تاریکی و در آب مقطر خیسانده شد و پس از این مدت، وزن اشباع برگ‌ها توزین گردید (وزن تورژانس) سپس نمونه‌ها به مدت ۴۸ ساعت در آون در دمای ۷۰ درجه

تورژانس در بافت‌های مختلف هر اندام را کاهش می‌دهد (Hu et al., 2013). همچنین سبب کاهش میزان فتوسنتز و هدایت روزنه‌ای در گیاه می‌شود و به دنبال آن، ذخیره کربن و ماده خشک نیز در گیاه کاهش پیدا می‌کند (Yordanov et al., 2000).

در سال‌های اخیر روش‌های مختلفی برای افزایش و القای مقاومت به خشکی ارائه گردیده است که یکی از این موارد، کاربرد مواد شیمیایی مختلف از جمله پلی آمین‌هاست. پلی آمین‌ها گروهی از ترکیبات بیوشیمیایی هستند که به عنوان یکی از مؤثرترین ترکیبات جهت مقاومت در برابر تنش‌های محیطی بکار می‌روند (Syed Sarfraz et al., 2022; Hojjatipour & Hassanpour, 2011; al., 2011). پلی آمین‌ها نقش گسترده‌ای در فرآیندهای مختلف رشدی گیاه دارند به طور مثال در جوانه‌زنی بذور؛ فرآیند ریشه‌زایی، جنین‌زایی، پیری و ریزش برگ، انگیزش گل، نمو میوه، رشد و رسیدگی میوه، سنتز DNA، و پاسخ دفاعی در برابر انواع تنش‌های زنده و غیرزنده نقش دارند (Singh Gill & Tuteja, 2010).

بررسی‌ها نشان داده است که استفاده از پوترسین سبب افزایش وزن تر و خشک بخش هوایی و ریشه، محتوای نسبی آب برگ، رنگیزه‌های فتوسنتزی، سطح برگ، فتوسنتز در گیاهان تحت تنش خشکی می‌گردد (Toupchi-Khosrowshahi & Slehi-Lisar, 2018; Mohamed et al., 2018; Kamiab et al., 2013). در نتایج حاصل از پژوهش خود بیان کردند که کاربرد پلی آمین‌ها مقاومت دانه‌های پسته را نسبت به شرایط تنش افزایش داد. استفاده از پلی آمین‌ها همچنین موجب افزایش محتوای نسبی آب برگ، افزایش ظرفیت فتوسنتزی گیاه، کاهش تولید رادیکال آزاد اکسیژن، جلوگیری از پراکسیداسیون لیپیدها و افزایش مقاومت دانه‌های گیلاس به تنش خشکی گردید (Yin et al., 2014). شایما (Shaimaa, 2018) گزارش کرد که کاربرد پوترسین موجب افزایش رشد رویشی، پروتئین و کربوهیدرات محلول برگ نارنج تحت شرایط تنش گردید.

کاربرد پوترسین تحت شرایط تنش خشکی موجب افزایش رشد ریشه، اندام هوایی، وزن خشک گیاه، محتوای نسبی آب، پرولین، کربوهیدرات و کاهش میزان نشت یونی در دو پایه سیترنج و ولکامریانا گردید که موجب افزایش تحمل این پایه‌ها به شرایط تنش شد (Mahdavian et al., 2017). همچنین کاربر پوترسین از طریق افزایش ژن‌های مرتبط با تنش خشکی موجب بهبود خصوصیات رشدی، فتوسنتزی، وضعیت آبی گیاه و رنگیزه‌های فتوسنتزی در مرکبات تحت تنش خشکی شد (Mahdavian et al., 2021). لذا هدف از این پژوهش بررسی اثر غلظت‌های مختلف پوترسین بر شاخص‌های مورفولوژیک و فیزیولوژیک دانه‌های لیمو ترش تحت تنش خشکی است.

(Cameron et al., 1999). همچنین اندازه‌گیری تبادلات گازی برگ (فتوستنتز، تعرق، هدایت روزنه‌ای و CO₂ زیر روزنه‌ای) دانه‌های لیموترش بر روی گره‌های ۳ تا ۶ از بالای گیاه در حالت اتصال به گیاه در شرایط نوری کامل بین ساعت ۹ تا ۱۱ صبح با استفاده از دستگاه LCi-SD ساخت انگلستان انجام شد. آنالیز داده‌های آماری با استفاده از نرم‌افزار MSTATC و به‌منظور مقایسه میانگین داده‌ها از آزمون چند دامنه‌ای دانکن در سطح احتمال ۵ درصد استفاده شد.

نتایج

خصوصیات مورفولوژیکی

نتایج مربوط به تجزیه واریانس فاکتورهای مورد مطالعه بر خصوصیات مورفولوژیک دانه‌های لیموترش در جدول ۱ آورده شده است.

سانتی‌گراد خشک شدند و وزن خشک آن‌ها با ترازوی با دقت ۰/۰۱ اندازه‌گیری شد. با توجه به فرمول زیر درصد محتوای نسبی آب برگ محاسبه گردید:

$$RWC = (Fw - Dw / Sw - Dw) \times 100$$

برای اندازه‌گیری نشت یونی ۸ دیسک با اندازه یکسان تهیه و در لوله فالکن قرار داده شد و ۱۰ میلی‌لیتر آب مقطر به آن‌ها اضافه گردید. این نمونه‌ها به مدت ۲۴ ساعت در دمای آزمایشگاه روی شیکر قرار داده شد و میزان هدایت الکتریکی نمونه‌ها با دستگاه هدایت‌سنج دیجیتالی Fresenius مدل LF90 قرائت شد (EC₁). سپس نمونه‌ها به مدت ۲۰ دقیقه در دمای ۱۲۱ درجه سانتی‌گراد اتوکلاو شدند و پس از خنک‌شدن، مجدداً هدایت الکتریکی نمونه‌ها اندازه‌گیری شد (EC₂) و در نهایت درصد نشت یونی با استفاده از رابطه زیر به‌دست‌آمد.

$$\text{درصد نشت یونی} = (EC_1/EC_2) \times 100$$

اندازه‌گیری پتانسیل آب برگ با استفاده از دستگاه محفظه فشار مدل (Pressure Chamber, SKPM 1400, UK) اندازه‌گیری شد

جدول ۱- تجزیه واریانس اثرات سطوح آبیاری و پوترسین بر خصوصیات مورفولوژیکی دانه‌های لیمو ترش

Table 1- ANOVA for the effects of irrigation and putrescine levels on the morphological characteristics of lemon seedling

منابع تغییر S.O.V	درجه آزادی Df	میانگین مربعات Mean squares						
		وزن تر اندام هوایی Shoot fresh weight	وزن خشک اندام هوایی Shoot dry weight	وزن تر ریشه Root fresh weight	وزن خشک ریشه Root dry weight	سطح برگ Leaf area	ارتفاع ساقه Stem height	تعداد برگ Leaf number
آبیاری Irrigation	2	4661.67**	1579.6**	1150.11**	181.53**	48593536.76**	225.81**	65662.17**
پوترسین Putrescine	2	4012.87**	1628.67**	541.44**	141.88**	29242360.95**	271.27**	271665.94**
آبیاری × پوترسین Irrigation × Putrescine	6	35.01 ^{ns}	44.91*	15.73**	3.96**	2756962.67**	14.25 ^{ns}	16397.42**
خطا Error	22	27.81	16.31	2.89	0.73	515548.9	6.30	4246.75
ضریب تغییرات C.V (%)		4	5.9	2.62	2.64	11.2	8.9	10.3

^{ns}, **, * به ترتیب عدم معنی‌داری، و معنی‌داری در سطح احتمال ۱ و ۵ درصد.

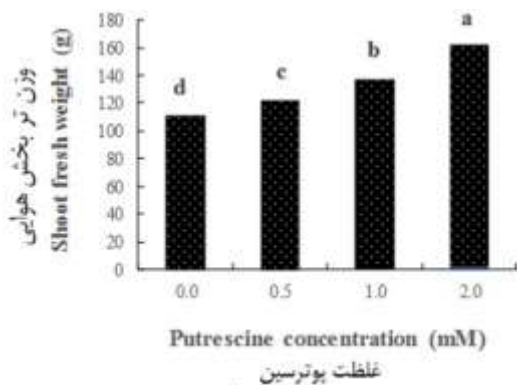
^{ns}, **, * and *: non-significant, and significant at $p \leq 0.01$ and $p \leq 0.05$, respectively.

داشت. براساس نتایج حاصل از شکل ۲ محلول پاشی پوترسین باعث افزایش معنی‌دار میزان وزن تر اندام هوایی گردید. بیشترین میزان وزن تر اندام هوایی مربوط به غلظت ۲ میلی‌مولار پوترسین (۱۵۹/۳۱ گرم) و کمترین میزان وزن تر اندام هوایی در تیمار شاهد مشاهده گردید.

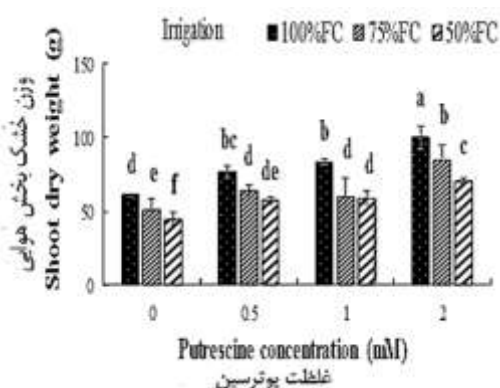
نتایج حاصل از شکل ۳ نشان داد که افزایش غلظت پوترسین وزن خشک اندام هوایی را به‌طور معنی‌داری افزایش داد به‌طوری‌که بیشترین وزن خشک اندام هوایی (۱۰۰/۱۹ گرم) در غلظت ۲ میلی‌مولار پوترسین و آبیاری کامل و کمترین مقدار آن (۴۴/۴۶ گرم) در تیمار

وزن تر و خشک اندام هوایی

براساس نتایج به‌دست آمده از جدول ۱ اثرات اصلی آبیاری و پوترسین بر میزان وزن تر و خشک اندام هوایی در سطح ۱ درصد معنی‌دار گردید. همچنین برهمکنش پوترسین در آبیاری بر وزن خشک اندام هوایی در سطح ۵ درصد معنی‌دار گردید. با توجه به شکل ۱ مشخص گردید که با کاهش آب آبیاری از ۱۰۰ به ۷۵ و ۵۰ درصد پتانسیل تبخیر و تعرق گیاه از وزن تر اندام هوایی کاسته شد. بیشترین میزان وزن تر اندام هوایی ۱۵۳/۶۴ گرم بود که در آبیاری کامل به‌دست آمد که افزایش معنی‌داری نسبت به تیمارهای آبیاری ۷۵ و ۵۰ درصد

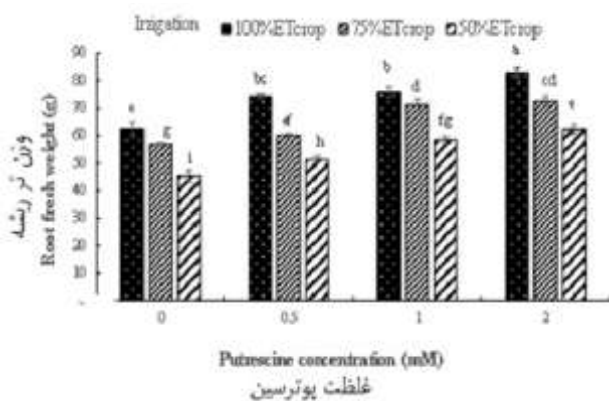


شکل ۲- اثر پوترسین بر وزن تر بخش هوایی دانهال‌های لیمو ترش
Figure 2- Effect of putrescine on shoot fresh weight of lemon seedling (DMRT, $p \leq 0.05$)



شکل ۳- اثر متقابل آبیاری x پوترسین بر وزن خشک بخش هوایی دانهال‌های لیمو ترش

Figure 3- Effect of irrigation x putrescine on shoot dry weight of lemon seedling (DMRT, $p \leq 0.05$)



شکل ۴- اثر متقابل آبیاری x پوترسین بر وزن تر ریشه دانهال‌های لیمو ترش

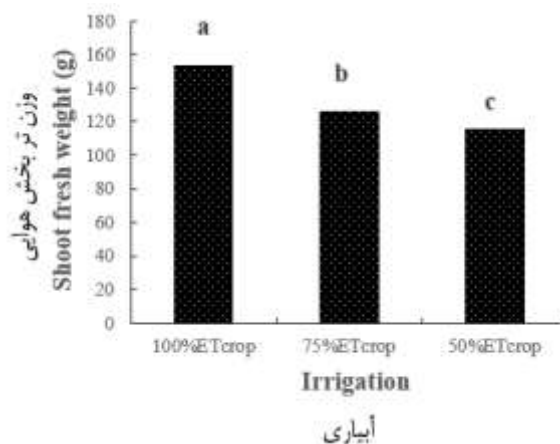
Figure 4- Effect of irrigation x putrescine on root fresh weight of lemon seedling (DMRT, $p \leq 0.05$)

رژیم آبیاری ۵۰ درصد پتانسیل تبخیر و تعرق گیاه و عدم محلول‌پاشی با پوترسین به‌دست آمد.

وزن تر و خشک ریشه

وزن تر و خشک ریشه تحت تأثیر اثرات اصلی آبیاری، پوترسین و همچنین برهمکنش آبیاری در پوترسین در سطح ۱ درصد معنی‌دار گردید (جدول ۱). در تمام سطوح آبیاری کاربرد پوترسین باعث افزایش وزن تر ریشه شد. همچنین با افزایش میزان غلظت پوترسین در هر تیمار آبیاری بر وزن تر ریشه افزوده شد. بیشترین وزن تر ریشه (۸۲/۸۷ گرم) در غلظت ۲ میلی‌مولار پوترسین و آبیاری کامل به‌دست آمد که نسبت به سایر تیمارها تفاوت معنی‌داری نشان داد. همچنین کمترین میزان وزن تر ریشه (۴۵/۲۲ گرم) در تیمار با غلظت صفر میلی‌مولار پوترسین و ۵۰ درصد پتانسیل تبخیر و تعرق گیاه حاصل شد. در آبیاری کامل با افزایش غلظت پوترسین از صفر به ۲ میلی‌مولار میزان وزن تر ریشه از ۶۲/۱۲ به ۸۲/۸۷ گرم افزایش یافت. همچنین در آبیاری ۷۵ درصد پتانسیل تبخیر و تعرق گیاه با افزایش غلظت پوترسین از صفر به ۲ میلی‌مولار میزان وزن تر ریشه از ۵۶/۸۹ به ۷۲/۶ گرم افزایش یافت و در آبیاری ۵۰ درصد پتانسیل تبخیر و تعرق گیاه با افزایش غلظت پوترسین از صفر به ۲ میلی‌مولار میزان وزن تر ریشه از ۴۵/۲۲ به ۶۲/۱۲ گرم افزایش یافت (شکل ۴).

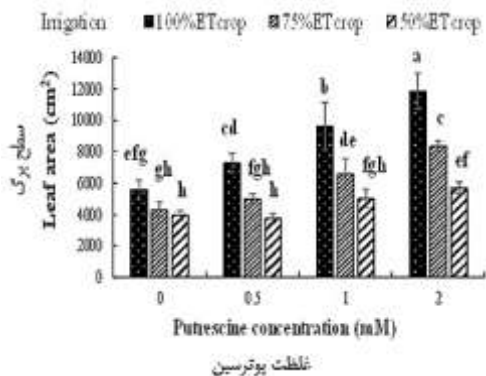
ثر متقابل آبیاری در پوترسین بر وزن خشک ریشه (شکل ۵) نشان داد که با کاهش آب آبیاری از ۱۰۰ به ۷۵ و ۵۰ درصد در گیاهان محلول‌پاشی شده با پوترسین نسبت به شاهد وزن خشک ریشه افزایش یافته و با افزایش غلظت محلول‌پاشی پوترسین بر مقدار وزن خشک ریشه در تمام تیمارهای آبیاری افزوده شد.



شکل ۱- اثر آبیاری بر وزن تر بخش هوایی دانهال‌های لیمو ترش
Figure 1- Effect of Irrigation on shoot fresh weight of lemon seedling (DMRT, $p \leq 0.05$)

سطح برگ

سطح برگ (۱۱۸۵۰/۲۵ سانتی متر مربع) در تیمار ۱۰۰ درصد پتانسیل تبخیر و تعرق گیاه و غلظت ۲ میلی مولار پوترسین به دست آمد که با تمام تیمارها تفاوت معنی دار داشت. همچنین کمترین مقدار آن (۳۷۷۳/۳۷ سانتی متر مربع) در تیمار ۵۰ درصد پتانسیل تبخیر و تعرق گیاه و غلظت ۰/۵ میلی مولار پوترسین به دست آمد که با مقادیر به دست آمده از تیمارهای شاهد و ۱ میلی مولار در همین رژیم آبیاری و شاهد و ۰/۵ میلی مولار رژیم آبیاری ۷۵ درصد پتانسیل تبخیر و تعرق گیاه تفاوت معنی دار نداشت (شکل ۶).



شکل ۶- اثر متقابل آبیاری × پوترسین بر سطح برگ دانهال های لیمو ترش

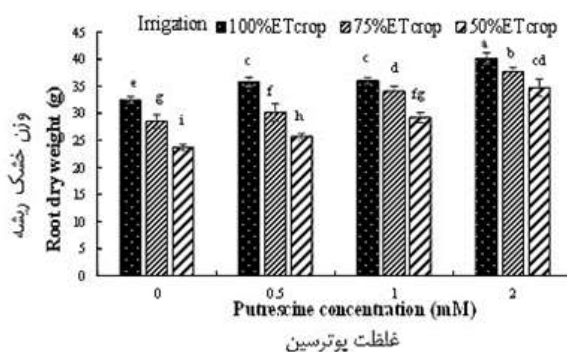
Figure 6- The interaction effect of irrigation × putrescine on leaf area of lemon seedling (DMRT, $p \leq 0.05$)

تعداد برگ گیاه

اثرات اصلی آبیاری، پوترسین و همچنین برهمکنش آبیاری در پوترسین در سطح ۱ درصد بر تعداد برگ معنی دار گردید (جدول ۱). با توجه به شکل ۷ مشخص گردید که با کاهش میزان آب، از تعداد برگ کاسته شد در حالی که استفاده از پوترسین در تمامی سطوح آبیاری سبب افزایش تعداد برگ گردید بیشترین تعداد برگ در غلظت ۲ میلی مولار پوترسین در سه سطح آبیاری (۶۵۸/۵، ۶۴۵ و ۵۴۲/۸۳) به دست آمد که به طور معناداری با سایر تیمارها تفاوت معنادار داشت و کمترین تعداد برگ در بالاترین شدت تنش بدون کاربرد پوترسین به دست آمد (شکل ۹).

مطابق با نتایج حاصل از جدول تجزیه واریانس داده ها (جدول ۱) اثرات اصلی آبیاری، پوترسین و همچنین برهمکنش آبیاری در پوترسین در سطح ۱ درصد بر میزان سطح برگ معنی دار گردید.

کاهش مقدار آبیاری از ۱۰۰ به ۷۵ و ۵۰ درصد میزان سطح برگ دانهال های لیمو ترش را کاهش داد و افزایش محلول پاشی پوترسین باعث افزایش سطح برگ در تمام تیمارهای آبیاری شد. بیشترین مقدار

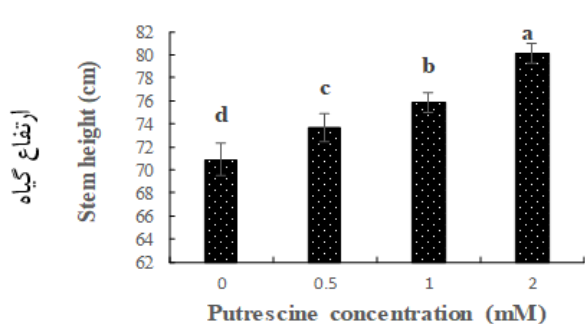


شکل ۵- اثر متقابل آبیاری × پوترسین بر وزن خشک ریشه دانهال های لیمو ترش

Figure 5- The interaction effect of irrigation × putrescine on root dry weight of lemon seedling (DMRT, $p \leq 0.05$)

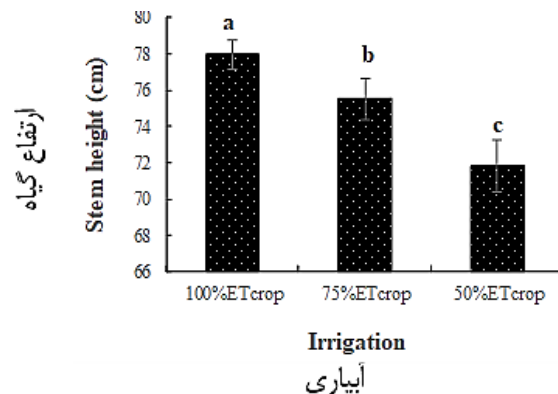
ارتفاع ساقه

ارتفاع ساقه تحت تأثیر اثرات اصلی آبیاری و پوترسین در سطح ۱ درصد معنی دار گردید (جدول ۱). اعمال تنش خشکی ارتفاع ساقه را به طور معنی داری کاهش داد و با افزایش شدت تنش این کاهش بیشتر شد. کمترین میزان ارتفاع ساقه در بالاترین شدت تنش خشکی به دست آمد و بیشترین میزان ارتفاع ساقه (۷۷/۹۶ سانتی متر) در آبیاری کامل حاصل شد که به طور معنی داری از ارتفاع ساقه در آبیاری ۷۵ و ۵۰ درصد تبخیر و تعرق بیشتر بود (شکل ۷). کاربرد پوترسین موجب افزایش طول ساقه گردید. در غلظت ۲ میلی مولار پوترسین بیشترین ارتفاع ساقه (۸۰/۰۷ سانتی متر) به دست آمد که با ارتفاع ساقه در غلظت های کمتر پوترسین تفاوت معنی داری داشت و کمترین ارتفاع ساقه در شرایط بدون کاربرد پوترسین به دست آمد (شکل ۸).



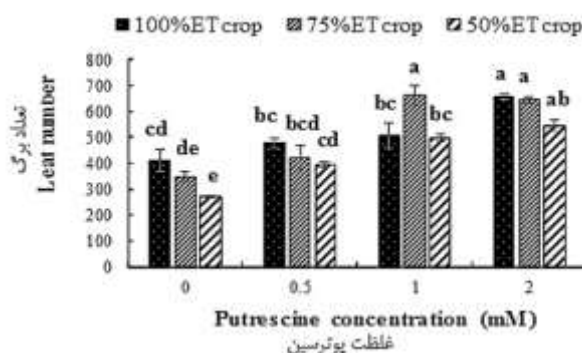
غلظت پوترسین

شکل ۸- اثر پوترسین بر میزان ارتفاع ساقه دانهال‌های لیمو ترش
Figure 8- The effect of putrescine on shoot length of lemon seedling (DMRT, $p \leq 0.05$)



آبیاری

شکل ۷- اثر آبیاری بر میزان ارتفاع ساقه دانهال‌های لیمو ترش
Figure 7- the effect of irrigation on shoot length of lemon seedling (DMRT, $p \leq 0.05$)



شکل ۹- اثر متقابل آبیاری × پوترسین بر تعداد برگ دانهال‌های لیمو ترش

Figure 9- The interaction effect of irrigation × putrescine on leaf number of lemon seedling (DMRT, $p \leq 0.05$)

با بررسی شکل ۱۱ مشخص گردید که با کاهش مقدار آب آبیاری از ۱۰۰ به ۷۵ و ۵۰ درصد پتانسیل تبخیر و تعرق گیاه، میزان پتانسیل آب برگ کاهش یافت. کمترین مقدار پتانسیل آب برگ (۲/۲۰- مگا پاسکال) در تیمار ۵۰٪ پتانسیل تبخیر و تعرق گیاه مشاهده گردید که از مقادیر به دست آمده در آبیاری کامل (۱/۴- مگا پاسکال) و ۷۵ درصد پتانسیل تبخیر و تعرق گیاه (۱/۷- مگا پاسکال) کمتر بود. همچنین بین تیمارهای آبیاری از نظر میزان پتانسیل آب برگ تفاوت معنی‌دار وجود داشت.

علاوه بر این نتایج نشان داد که در گیاهان محلول‌پاشی شده با پوترسین نسبت به شاهد میزان پتانسیل آب برگ بیشتر بود. نتایج حاکی از آن بود که بیشترین میزان پتانسیل آب برگ در تیمار با ۲ میلی‌مولار پوترسین حاصل شد (۱/۴۱- مگا پاسکال). همچنین میزان پتانسیل آب برگ در تیمارهای شاهد، ۰/۵ و ۱ میلی‌مولار به ترتیب ۲/۱۳، ۱/۹۸- و ۱/۶۴- مگا پاسکال بود. بین تمام تیمارهای پوترسین از نظر میزان پتانسیل آب برگ تفاوت معنی‌دار وجود داشت (شکل ۱۲).

خصوصیات فیزیولوژیکی

آنالیز واریانس مربوط به خصوصیات فیزیولوژیک دانهال‌های لیموترش در جدول ۲ آورده شده است.

محتوای نسبی آب

اثر اصلی آبیاری و پوترسین در سطح ۱ درصد و برهمکنش آبیاری در پوترسین در سطح ۵ درصد بر میزان محتوای نسبی آب معنی‌دار گردید (جدول ۲). نتایج حاصل از شکل ۱۰ نشان داد که افزایش غلظت پوترسین موجب افزایش معنی‌دار میزان محتوای نسبی آب در اغلب موارد تحت تنش خشکی گردید. در غلظت ۲ میلی‌مولار پوترسین و آبیاری کامل بیشترین محتوای نسبی آب (۷۶/۹۷ درصد) به دست آمد که نسبت به بقیه تیمارها افزایش معنی‌داری داشت و کمترین میزان محتوای نسبی آب در تنش خشکی ۵۰ درصد تبخیر و تعرق بدون کاربرد پوترسین به دست آمد.

پتانسیل آب برگ

با توجه به نتایج به دست آمده از جدول ۲ پتانسیل آب برگ تحت تأثیر اثر اصلی آبیاری و پوترسین در سطح ۱ درصد معنی‌دار گردید.

جدول ۲- تجزیه واریانس اثرات سطوح آبیاری و پوترسین بر خصوصیات فیزیولوژیکی دانه‌های لیمو ترش
Table 2- ANOVA for the effects of irrigation and putrescine levels on the physiological characteristics of lemon seedling

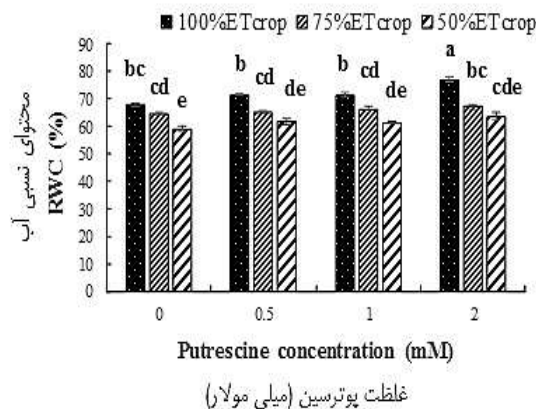
منابع تغییر S.O.V	درجه آزادی Df	میانگین مربعات Mean squares		
		محتوای نسبی آب Relative water content	پتانسیل آب برگ Leaf water potential	نشت یونی Electrolyte leakage
آبیاری Irrigation	2	108.7**	195.36**	1089.03**
پوترسین Putrescine	2	172.06**	96.63**	195.47**
آبیاری × پوترسین Irrigation × Putrescine	6	26.72 *	2.55 ^{ns}	13.75 ^{ns}
خطا Error	22	7.16	1.91	5.42
ضریب تغییرات C.V (%)		3.36	5.9	2.62

^{ns}, **, * و * به ترتیب عدم معنی‌داری، و معنی‌دار در سطح احتمال ۱ و ۵ درصد.
^{ns}, ** and *: non-significant, and significant at $p \leq 0.01$ and $p \leq 0.05$, respectively.

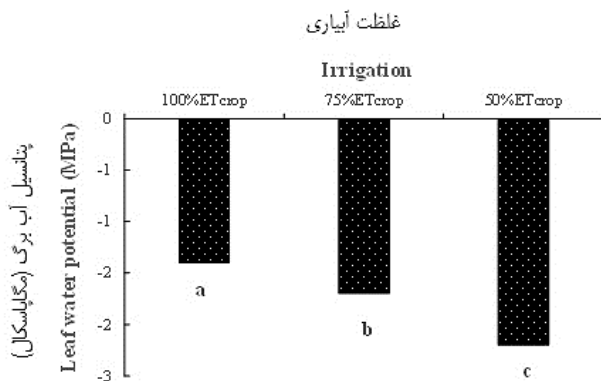
نشت یونی

درصد نشت یونی تحت تأثیر اثرات اصلی پوترسین و آبیاری در سطح ۱ درصد معنی‌دار شد (جدول ۲). افزایش شدت تنش خشکی میزان نشت یونی را به‌طور معنی‌داری افزایش داد. بیشترین میزان نشت یونی (۵۹/۷۷ درصد) در آبیاری ۵۰ درصد تبخیر و تعرق به‌دست آمد که نسبت به دیگر سطوح آبیاری معنی‌دار بود (شکل ۱۳). همچنین

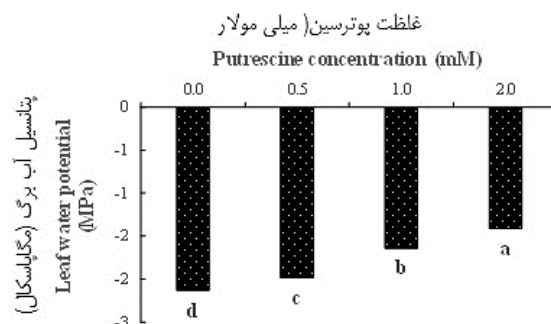
نتایج حاصل از شکل ۱۴ نشان داد که بیشترین میزان نشت یونی در تیمار شاهد مشاهده گردید که بیش‌تر از میزان نشت یونی در غلظت‌های ۱ و ۲ میلی‌مولار پوترسین بود. نتایج این تحقیق نشان داد که کاربرد غلظت‌های بالاتر پوترسین سبب کاهش میزان نشت یونی از برگ‌های گیاه لیموترش شد. به‌طوری‌که کمترین میزان نشت یونی در تیمار ۲ میلی‌مولار پوترسین به‌دست آمد.



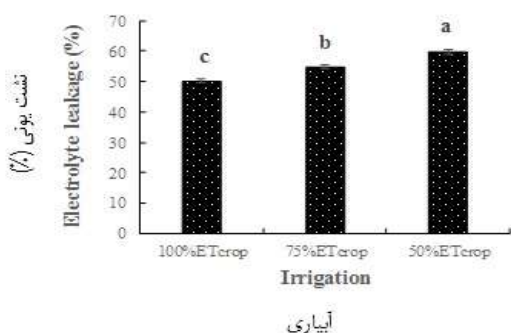
شکل ۱۰- اثر متقابل آبیاری × پوترسین بر محتوای نسبی آب
Figure 10- Effect of irrigation × putrescine on RWC



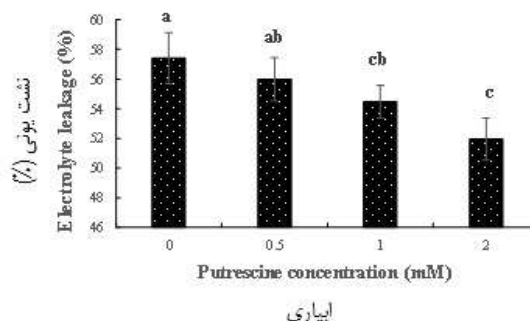
شکل ۱۱- اثر متقابل آبیاری بر پتانسیل آب برگ
Figure 11- Effect of irrigation on leaf water potential



شکل ۱۲- اثر پوترسین بر پتانسیل آب برگ
Figure 12- Effect of putrescine on leaf water potential



شکل ۱۳- اثر آبیاری بر نشت یونی
Figure 13- Effect of irrigation on electrolyte leakage



شکل ۱۴- اثر پوترسین بر نشت یونی
Figure 14- Effect of putrescine on electrolyte leakage

جدول ۳- تجزیه واریانس اثرات سطوح آبیاری و پوترسین بر تبادلات گازی دانهالهای لیمو ترش
Table 3- ANOVA for the effects of irrigation and putrescine levels on gas exchange parameters of lemon seedling

منابع تغییر S.O.V	درجه آزادی Df	میانگین مربعات Mean squares			
		فتوسنتز Photosynthesis	تعرق Transpiration	هدایت روزنه‌ای Stomatal conduction	دی اکسید کربن زیرروزنه‌ای Sub stomatal carbon dioxide
آبیاری Irrigation	2	10.21**	21.04**	0.04**	9551.69**
پوترسین Putrescine	2	9.70**	4.27**	0.006**	7545.36**
آبیاری × پوترسین Irrigation × Putrescine	6	1.14 ^{ns}	0.33**	0.001**	384.47**
خطا Error	22	0.58	0.02	0.0003	156.22
ضریب تغییرات C.V (%)		9.3	4.6	12.8	3.6

^{ns}, ** و * به ترتیب عدم معنی داری، و معنی دار در سطح احتمال ۱ و ۵ درصد.
^{ns}, ** and *: non-significant, and significant at $p \leq 0.01$ and $p \leq 0.05$, respectively.

فتوسنتز

تبادلات گازی

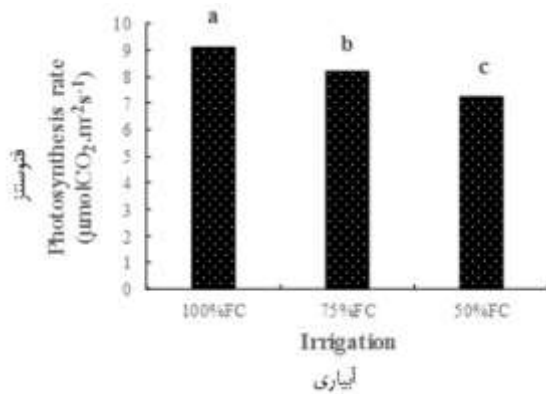
نتایج به دست آمده از جدول ۳ نشان داد که اثرات اصلی آبیاری و پوترسین در سطح ۱ درصد بر میزان فتوسنتز معنی دار گردید. با توجه

نتایج حاصل از جدول تجزیه واریانس تبادلات گازی در جدول ۳ گزارش شده است.

سطح ۱ درصد معنی دار گردید. بیشترین میزان تعرق در آبیاری ۱۰۰٪ پتانسیل تبخیر و تعرق گیاه در تیمارهای ۱ و ۲ میلی مولار پوترسین به ترتیب با مقادیر ۵/۵۲ و ۵/۵۵ میلی مول H_2O در متر مربع بر ثانیه به دست آمد که با سایر تیمارها تفاوت معنی دار داشت. به طور کلی با افزایش شدت خشکی از تعرق کاسته و با افزایش غلظت پوترسین بر تعرق افزوده شد. تیمار ۵۰ درصد پتانسیل تبخیر و تعرق بدون کاربرد پوترسین دارای کمترین میزان تعرق بود (شکل ۱۷).

هدایت روزنه ای

اثرات اصلی پوترسین، آبیاری و برهمکنش آبیاری در پوترسین بر میزان هدایت روزنه در سطح ۱ درصد معنی دار گردید (جدول ۳). اثر متقابل آبیاری در پوترسین (شکل ۱۸) بر میزان هدایت روزنه ای نشان داد که با کاهش رژیم آبیاری میزان هدایت روزنه ای کاهش یافت به طوری که بیشترین مقدار آن (۰/۲۴ میلی مول بر متر مربع بر ثانیه) در آبیاری کامل و غلظت ۲ میلی مولار پوترسین و کمترین میزان آن (۰/۰۶ میلی مول بر متر مربع بر ثانیه) در ۵۰٪ پتانسیل تبخیر و تعرق گیاه و شاهد مشاهده گردید. استفاده از پوترسین باعث افزایش میزان هدایت روزنه ای در سطوح آبیاری شد. همچنین در آبیاری ۵۰ درصد پتانسیل تبخیر و تعرق در هیچ کدام از سطوح پوترسین تفاوت معنی دار مشاهده نشد.

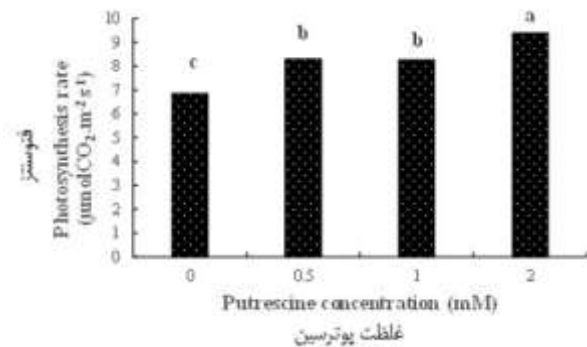


شکل ۱۵- اثر متقابل آبیاری بر میزان فتوسنتز دانهال های لیمو ترش
Figure 15- Effect of irrigation on photosynthesis amount of lemon seedling (DMRT, $p \leq 0.05$)

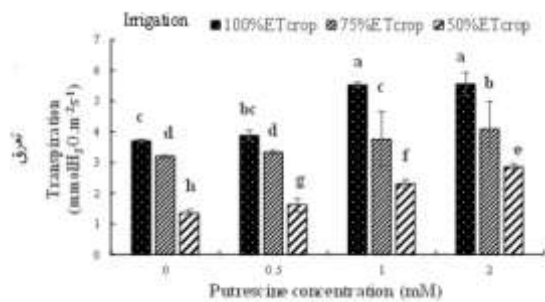
به نتایج حاصل از شکل ۱۵ با کاهش میزان آبیاری از ۱۰۰ به ۷۵ و ۵۰ درصد پتانسیل تبخیر و تعرق گیاه از میزان فتوسنتز دانهال های لیموترش کاسته شد و بین هر سه سطح آبیاری از نظر میزان فتوسنتز تفاوت معنی دار مشاهده گردید. بیشترین میزان فتوسنتز در آبیاری کامل ۱۰۰ درصد پتانسیل تبخیر و تعرق گیاه حاصل شد (۹/۰۹ میکرو مول دی اکسید کربن در متر مربع بر ثانیه) که به طور معنی داری از میزان فتوسنتز در آبیاری ۷۵ و ۵۰ درصد پتانسیل تبخیر و تعرق گیاه به ترتیب با مقادیر ۸/۲۳ و ۷/۲۵ میکرو مول دی اکسید کربن در متر مربع بر ثانیه بیش تر بود. در گیاهان محلول پاشی شده با پوترسین نسبت به عدم محلول پاشی با پوترسین میزان فتوسنتز بیشتر بود. نتایج حاکی از آن بود که بیشترین میزان فتوسنتز (۹/۳۷ میکرو مول دی اکسید کربن در متر مربع بر ثانیه) در تیمار ۲ میلی مولار پوترسین به دست آمد که به طور معنی داری از میزان فتوسنتز در تیمارهای شاهد، ۰/۵ و ۱ میلی مولار (به ترتیب با مقادیر ۶/۳۴ و ۸/۲۸ و ۸/۲۷ میکرو مول دی اکسید کربن در متر مربع بر ثانیه) بیش تر بود. همچنین کمترین میزان فتوسنتز (۶/۳۴ میکرو مول دی اکسید کربن در متر مربع بر ثانیه) مربوط به گیاهان شاهد بود (شکل ۱۶)

تعرق

با توجه به نتایج جدول تجزیه واریانس (جدول ۳) میزان تعرق تحت تأثیر اثرات اصلی پوترسین، آبیاری و برهمکنش آبیاری در پوترسین در

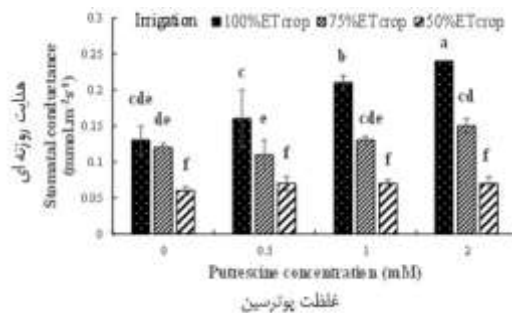


شکل ۱۶- اثر پوترسین بر میزان فتوسنتز دانهال های لیمو ترش
Figure 16- The effect of putrescine on photosynthesis amount of lemon seedling (DMRT, $p \leq 0.05$)



شکل ۱۷- اثر متقابل آبیاری × پوترسین بر میزان تعرق دانتهال‌های لیمو ترش

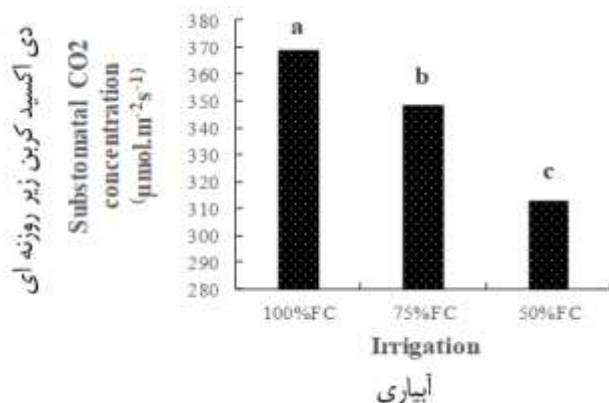
Figure 17- The interaction effect of irrigation×putrescine on transpiration amount of lemon seedling (DMRT, $p \leq 0.05$)



شکل ۱۸- اثر متقابل آبیاری × پوترسین بر هدایت روزنه‌ای دانتهال‌های لیمو ترش

Figure 18- The interaction effect of irrigation×putrescine on stomatal conductance of lemon seedling (DMRT, $p \leq 0.05$)

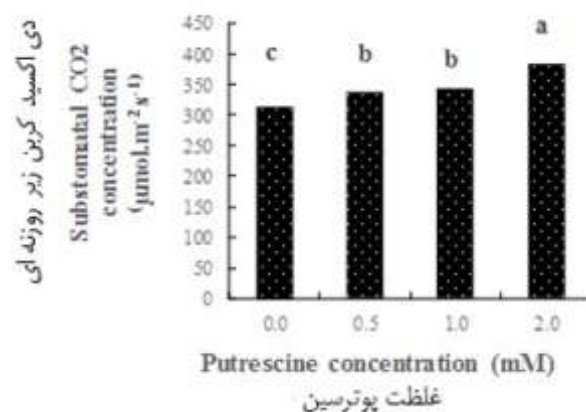
تبخیر و تعرق گیاه (به ترتیب با مقادیر ۳۴۸/۱۷ و ۳۱۲/۷۵ میکرو مول در متر مربع بر ثانیه) بیشتر بود. مطابق نتایج شکل ۲۰ غلظت ۲ میلی‌مولار پوترسین بیشترین تأثیر را بر میزان دی‌اکسید کربن زیر روزنه‌ای داشت (۳۸۲/۱۱ میکرو مول در متر مربع بر ثانیه) که با میزان دی‌اکسید کربن زیر روزنه‌ای در غلظت‌های صفر، ۰/۵ و ۱ میلی‌مولار پوترسین به ترتیب با مقادیر ۳۱۲/۲۲، ۳۳۷/۱۱ و ۳۴۱/۱۱ میکرو مول در متر مربع بر ثانیه تفاوت معنی‌دار داشت.



شکل ۱۹- اثر آبیاری بر دی‌اکسید کربن زیر روزنه‌ای دانتهال‌های لیمو ترش

Figure 19- Effect of irrigation on substomatal CO₂ of lemon seedling (DMRT, $p \leq 0.05$)

دی‌اکسید کربن زیر روزنه‌ای مطابق با نتایج به دست آمده اثرات اصلی پوترسین و آبیاری بر میزان دی‌اکسید کربن زیر روزنه در سطح ۱ درصد معنی‌دار گردید (جدول ۳). با توجه به نتایج به دست آمده از شکل ۱۹ بیشترین میزان دی‌اکسید کربن زیر روزنه‌ای در آبیاری کامل به دست آمد (۳۶۸/۵ میکرو مول در متر مربع بر ثانیه) که به طور معنی‌داری از میزان دی‌اکسید کربن زیر روزنه‌ای در تیمارهای ۷۵ و ۵۰ درصد پتانسیل



شکل ۲۰- اثر پوترسین بر دی‌اکسید کربن زیر روزنه‌ای دانتهال‌های لیمو ترش

Figure 20- Effect of putrescine on on substomatal CO₂ of lemon seedling (DMRT, $p \leq 0.05$)

ساقه را دانتهال‌های لیمو ترش به طور معنی‌داری کاهش و کاربرد پوترسین موجب افزایش وزن تر و خشک اندام هوایی و ریشه در این گیاه گردید. کاهش وزن تر و خشک گیاه تحت شرایط تنش می‌تواند به علت بسته شدن روزنه‌ها و کاهش تبدلات گازی از جمله میزان

بحث

براساس نتایج به دست آمده از پژوهش حاضر اعمال تنش خشکی به‌ویژه در ۵۰ درصد پتانسیل تبخیر و تعرق خصوصیات مورفولوژیکی از قبیل وزن تر و خشک اندام‌های هوایی و ریشه، تعداد برگ و ارتفاع

افزایش پارامترهای رشد، محتوای نسبی آب و رنگ‌های فتوسنتزی با محلول پاشی پوترسین می‌تواند مربوط به خاصیت آنتی‌اکسیدانی پوترسین و نقش اسمولیتی آن در شرایط خشکی باشد (Toupchi-Khosrowshahi & Slehi-Lisar, 2018). پوترسین پلی آمینی است که در فرایندهای گوناگون رشد و نمو گیاه درگیر است. با افزایش القاکننده‌های درونی همچون اکسین، جیبرلین و سیتوکینین و کاهش مقدار بازدارنده آبسزیک اسید یا کاهش فعالیت آن باعث تحریک رشد می‌شود. از طرفی پلی‌آمین منبعی از نیتروژن بوده و این عنصر نیز رشد را تحریک می‌کند (Ahmed et al., 2017). نتایج حاصل از محلول پاشی برگ‌ی پوترسین بر افزایش پارامترهای رشدی تحت شرایط تنش با نتایج حاصل از مطالعات قبل مطابقت دارد.

همچنین نتایج حاصل از پژوهش حاضر نشان داد که افزایش شدت تنش خشکی در دانه‌های لیموترش موجب کاهش و استفاده از پلی آمین‌ها موجب افزایش سطح برگ گردید که کاهش سطح برگ تحت تنش می‌تواند به علت کاهش محتوای نسبی آب و کاهش رشد باشد که این نتایج با نتایج حاصل از مطالعات حسین و همکاران مطابقت دارد (Hossain et al., 1990) که بیان کردند کاهش سطح برگ تحت شرایط تنش به منظور کاهش هدر رفت آب صورت می‌گیرد و باعث کاهش جذب تبادلات گازی می‌گردد. کاهش سطح برگ تحت شرایط تنش می‌تواند به دلیل کاهش محتوای نسبی آب، کوچک شدن اندازه سلول‌ها، کاهش تقسیم سلول‌های مرستمی و در نتیجه کند شدن رشد برگ، توقف تولید برگ، تسریع پیری و ریزش برگ‌هاست (Osuagwu & Edeoga, 2012).

موحامد و همکاران (Mohamed et al., 2018) در مطالعه‌ای روی نارنج بیان کردند که کاربرد پوترسین با غلظت ۱۵۰ پی‌پی‌ام موجب افزایش سطح برگ نسبت به گیاهان شاهد گردید که این افزایش سطح برگ در اثر استفاده از پوترسین می‌تواند به علت اثرات تنظیم‌کنندگی این پلی‌آمین در رشد و مقابله با اثرات هورمون آبسزیک اسید باشد. علاوه بر این پوترسین اثرات دفاعی در گیاه در برابر تنش‌های محیطی دارد. این تأثیرات مثبت پوترسین مربوط می‌شود به نقشی که در افزایش تقسیم سلولی، افزایش هورمون‌های گیاهی همچون اکسین و جیبرلین و کاهش آبسزیک اسید دارد که سبب بهبود رشد می‌گردد (Hussein et al., 2006). تأثیر پوترسین بر افزایش سطح برگ با نتایج حاصل از پژوهش‌های قبلی مطابقت دارد.

مطابق با نتایج به دست آمده اعمال تنش خشکی در ۷۵ و ۵۰ درصد پتانسیل تبخیر و تعرق موجب کاهش میزان محتوای نسبی آب و پتانسیل آب برگ گیاه لیموترش شد که این کاهش در میزان محتوای نسبی آب گیاه تحت شرایط تنش می‌تواند به علت آسیب به غشاء و در نتیجه افزایش نشت یونی باشد. در آزمایشی از موحامد و همکاران

فتوسنتز و کاهش محتوای نسبی آب باشد که این نتایج با نتایج حاصل از پژوهش کروما و همکاران (Krouma et al., 2015) مطابقت دارد که بیان کردند کاهش پارامترهای رشدی تحت شرایط تنش خشکی می‌تواند به دلیل کاهش انتشار دی‌اکسید کربن به داخل برگ‌ها باشد که منجر به کاهش میزان فتوسنتز، کلروفیل، القاء تنش اکسیداتیو و سرانجام رشد کم‌تر در گیاهان می‌گردد.

کاهش رشد تحت شرایط تنش خشکی می‌تواند به دلیل کاهش رشد و توسعه‌ی سلول ناشی از کاهش فشار تورژسانس باشد (Nilsen & Orcutt, 1996). خشکی همچنین بر روی تشکیل سلول‌های اولیه برگ و تمایز آن‌ها اثر می‌گذارد و تعداد برگ را کاهش می‌دهد که در نهایت موجب کاهش وزن تر و خشک گیاه می‌گردد (Lobato et al., 2008). یکی دیگر از مهم‌ترین دلایل کاهش پارامترهای رشد تحت شرایط تنش کاهش جذب مواد مغذی، است (Hasan et al., 2018). کاهش جذب مواد غذایی به‌طور غیرمستقیم تشکیل شاخه‌های رویشی، سطح برگ‌ها و وزن تر و خشک گیاه را کاهش می‌دهد (Ahmed et al., 2017).

موحامد و همکاران (Mohamed et al., 2018) بیان کردند که اعمال تنش خشکی در نارنج وزن تر و خشک اندام هوایی و تعداد برگ را به‌طور معنی‌داری کاهش و کاربرد پوترسین این صفات را به‌طور معنی‌داری افزایش داد.

در آزمایش حاضر استفاده از پوترسین به‌ویژه در غلظت ۲ میلی مولار موجب افزایش وزن تر و خشک ریشه، اندام هوایی و ارتفاع ساقه گردید که افزایش پارامترهای رشد تحت کاربرد پوترسین می‌تواند به علت تأثیر این ماده در افزایش محتوای نسبی آب، پتانسیل آب برگ و تبادلات گازی از جمله میزان فتوسنتز باشد که این نتایج با نتایج ژانگ و همکاران (Zhang et al., 2009) مطابقت دارد که بیان کردند محلول پاشی پوترسین باعث تنظیم اسمزی، بهبود روابط آبی گیاه، عدم تجزیه رنگ‌های فتوسنتزی و در نتیجه افزایش تبادلات گازی گردید. کاربرد پوترسین تحت شرایط تنش خشکی موجب افزایش وزن تر و خشک ریشه‌ها، ساقه‌ها و برگ‌ها در گیاه گلرنگ گردید (Toupchi-Khosrowshahi & Slehi-Lisar, 2018). افزایش وزن تر و خشک در دانه‌های تیمار شده با پوترسین می‌تواند به تأثیر پلی‌آمین‌ها در بهبود شاخص‌های رشد، خاصیت آنتی‌اکسیدانی و نقش محافظتی آن‌ها در پایداری سلول‌ها مرتبط باشد (Hussein et al., 2006). پلی‌آمین‌ها در مهار رادیکال‌های آزاد، تنظیم پتانسیل اسمزی و متابولیسم پرولین در تنش‌های غیرزنده نقش دارند. برخی از فرایندهای فیزیولوژیکی همچون تقسیم سلولی و نمو گیاه با این تنظیم‌کننده‌های رشدی قابل تغییر هستند (Singh Gill & Tuteja, 2010).

غشا سلولی با افزایش دوره‌ها و طولانی شدن مدت‌زمان تنش خشکی بیش‌تر می‌شود زیرا مقاومت و کشش سلول به خشکی با طولانی شدن تنش رفته‌رفته کم‌تر می‌شود (Amri & Mohammadi, 2012). یکی از صدمات تنش خشکی تجمع رادیکال‌های آزاد هست که موجب خسارت به غشا، آزاد شدن یون‌ها به داخل فضای بین سلولی، پر اکسیداسیون لیپیدی و درنهایت خسارت به سلول می‌شود. پلی‌آمین‌ها در حفظ یکپارچگی و انسجام غشا و اندام‌های سلولی در شرایط بروز تنش خشکی نقش اساسی دارند که موجب کاهش نفوذپذیری غشاء و در نتیجه کاهش میزان نشت یونی می‌گردد (Zhang & John, 2005). پوترسین میزان فعالیت آنزیم لیپوکسیژناز و فسفولیپاز را کاهش و فعالیت آنزیم کاتالاز و آسکوربات پراکسیداز را افزایش می‌دهد در نتیجه موجب انسجام غشاء و کاهش میزان نشت یونی می‌گردد (Majidiyan, 2013).

در آزمایش حاضر افزایش شدت تنش خشکی به ۷۵ و ۵۰ درصد پتانسیل تبخیر و تعرق موجب کاهش تبادلات گازی و افزایش غلظت پوترسین بویژه در ۲ میلی‌مولار میزان تبادلات گازی را به‌طور معنی داری افزایش داد که کاهش تبادلات گازی تحت شرایط تنش می‌تواند به علت کاهش محتوای نسبی آب، پتانسیل آب برگ و در نتیجه بستن روزنه‌ها و جلوگیری از خروج آب تحت شرایط تنش باشد که این نتایج با نتایج حاصل از لویز و همکاران (Lopez et al., 1988) مطابقت داشت که گزارش کردند گیاهان برای مقابله نسبت به تنش خشکی و حفظ رطوبت اقدام به بستن روزنه‌های خود می‌کنند تا از هدر رفت آب جلوگیری شود. تأثیر محتوای نسبی آب و پتانسیل آب برگ بر روی سرعت تبادلات گازی از جمله فتوسنتز توسط سیدیک و همکاران (Siddique et al., 2001) تأیید شده است. خشکی باعث کاهش چشمگیر میزان فتوسنتز در کاریزو سیترنج و نارنگی کلتوپاترا گردید (Zandalinas et al., 2016).

افزایش تبادلات گازی در اثر استفاده از پوترسین می‌تواند به علت تأثیر این پلی‌آمین در بهبود روابط آبی گیاه از جمله افزایش محتوای نسبی آب، پتانسیل آب برگ و در نتیجه کاهش اثرات نامطلوب تنش باشد. این نتایج با نتایج پژوهش ژانگ و همکاران (Zhang et al., 2009) مطابقت دارد که گزارش کردند کاربرد پوترسین فتوسنتز را در گیاهان خیار تحت تنش افزایش داد. پوترسین در افزایش بقا و عدم تجزیه کلروفیل‌ها نقش مهمی دارد و از این طریق می‌تواند سبب افزایش فتوسنتز و کربوهیدرات‌ها محلول شود.

همان‌طور که نتایج این آزمایش نشان داد بیشترین میزان تعرق در آبیاری کامل ۱۰۰ درصد پتانسیل تبخیر و تعرق به‌دست آمد و سرعت تعرق در شرایط تنش کاهش پیدا کرد. خشکی فاکتوری تأثیرگذار بر عملکرد و کیفیت مرکبات در تنش غیرزنده است و سبب کاهش میزان

(Mohamed et al., 2018) گزارش گردید که در تنش خشکی شدید نسبت به آبیاری کامل (شاهد) محتوای نسبی آب گیاه نارنج از ۶۲/۸۷ به ۵۳/۱۵ درصد کاهش یافت. محتوای نسبی آب انعکاسی است از فعالیت متابولیکی بافت‌ها که در طی تنش خشکی بسیار کاهش پیدا می‌کند. علت آن عدم وجود آب کافی در خاک و عدم توان جبران آب از دست‌رفته با تعرق است و در نتیجه پتانسیل آب در گیاه کم می‌شود (Bolat et al., 2014).

رابطه بین پتانسیل آب برگ و محتوای نسبی آب برگ نشان می‌دهد که گیاهانی که در معرض تنش هستند پتانسیل آب برگ منفی‌تری دارند و محتوای نسبی آب برگ کم‌تری خواهند داشت. یکی از علت‌های کاهش پتانسیل آب مربوط به تنظیم اسمزی است و با کاهش پتانسیل آب برگ بسته شدن روزنه‌ها شدت می‌گیرد (Chartzoulakis et al., 1993). محتوای نسبی آب احتمالاً مناسب‌ترین معیار برای وضعیت آب گیاه از نظر پیامد فیزیولوژیکی کم آبی است و به‌عنوان تخمینی از وضعیت آب گیاه در برخورد با انتقال آب در خاک-گیاه-اتمسفر است (Mullan & Pietragalla, 2012).

در این آزمایش محلول‌پاشی برگی پوترسین به‌خصوص در غلظت ۲ میلی‌مولار سبب افزایش معنی‌دار محتوای نسبی آب و افزایش پتانسیل آب برگ نسبت به غلظت‌های کم‌تر پوترسین گردید. پوترسین با تنظیم بسته شدن روزنه‌ها و کاهش از دست‌دهی آب موجب افزایش مقاومت گیاه به تنش‌های محیطی گردید که از این طریق محتوای نسبی آب را بهبود می‌بخشد (Ahmed & Sadak, 2016). روبینوسکا و همکاران (Rubinowska et al., 2012) بیان کردند که پلی‌آمین‌ها ممکن است کانال‌های یونی خاصی را تعدیل و نفوذپذیری غشا را به کلسیم افزایش دهند و مقدار این عنصر در سیتوپلاسم بالا رفته که نتیجه آن غیرفعال شدن ورود یک‌سویه پتاسیم در غشا شده و نتیجه آن تحریک انسداد روزنه و کاهش خروج آب از آن خواهد شد. افزایش آب برگ با پلی‌آمین‌ها ممکن است به تنظیم اسمزی گیاه با افزایش پرولین نیز نسبت داده شود (Duan et al., 2008). نتایج حاصل از کاربرد پوترسین بر خصوصیات فیزیولوژیکی دانه‌های لیموترش از جمله محتوای نسبی آب و پتانسیل آب برگ تحت شرایط تنش خشکی با نتایج حاصل از مطالعات قبل مطابقت دارد.

با توجه به نتایج حاصل از پژوهش حاضر افزایش شدت تنش خشکی میزان نشت یونی را افزایش و کاربرد برگی پوترسین موجب کاهش میزان نشت یونی شد که این نتایج با نتایج حاصل از پژوهش عمواقایی و مقیم (Amooaghaie & Moghym, 2011) مطابقت دارد که بیان کردند افزایش نشت یونی تحت شرایط تنش خشکی می‌تواند به علت آسیب رساندن به غشای پلاسمایی، افزایش نفوذپذیری غشاء و نشت یون‌ها به بیرون از سلول‌ها باشد. میزان آسیب تنش خشکی به

مهمی که در تنظیم سازگاری نوری دستگاه فتوسنتزی دارد سبب اسیمیلاسیون بهبودیافته دی‌اکسید کربن طی تنش می‌شود (Ioannidis & Kotzabasis, 2007). نتایج حاصل از پژوهش حاضر مبنی بر کاربرد پوترسین بر خصوصیات تبادلات گازی درخت لیموترش تحت تنش خشکی با نتایج حاصل از مطالعات قبلی مطابقت دارد.

نتیجه‌گیری

به‌طور کلی نتایج نشان داد که محلول پاشی برگی پوترسین به‌ویژه در غلظت ۲ میلی‌مولار بیشترین تأثیر را در افزایش پارمترهای رشد از جمله وزن تر و خشک اندام هوایی و ریشه، سطح برگ، افزایش محتوای نسبی آب، پتانسیل آب برگ و تبادلات گازی و کاهش میزان نشت یونی تحت شرایط تنش خشکی داشت.

سپاسگزاری

بدین‌وسیله از معاونت پژوهشی دانشگاه شهید چمران اهواز به خاطر تأمین بار مالی این تحقیق، تشکر و قدردانی می‌گردد.

تعرق گردید (Tie et al., 2022). در آزمایشی دیگر از زندلیناس و همکاران (Zandalinas et al., 2016) خشکی سبب کاهش تعرق در سیترنج کاریزو و نارنگی کلئوپاترا شد. کاربرد پوترسین موجب افزایش میزان تعرق گردید که این افزایش تعرق به‌دلیل تأثیر پوترسین در باز شدن روزنه است. ارتباط مثبتی بین تعرق و فتوسنتز وجود دارد (Gupta et al., 2012).

ژانگ و همکاران (Zhang et al., 2009) گزارش کردند که کاربرد پوترسین سبب تنظیم اسمزی و افزایش هدایت روزنه‌ای در گیاهان خیار تحت تنش شد. بسیاری از شرایط تنش‌زا می‌توانند سبب کاهش اسیمیلاسیون دی‌اکسید کربن شوند آن‌هم به‌دلیل بسته شدن روزنه و کاهش ظرفیت فتوسنتزی است (Downton et al., 2006). کاهش میزان دی‌اکسید کربن داخلی ممکن است به‌دلیل بسته شدن روزنه‌ها و کاهش بیش‌تر ظرفیت فتوسنتزی در تنش خشکی باشد (Gupta et al., 2012). در آزمایشی از ژانگ و همکاران (Zhang et al., 2009) کاربرد پوترسین توانست سبب بهبود CO_2 بین سلولی شود. پوترسین مواد موردنیاز در فتوسنتز و رشد را فراهم می‌کند و با نقش

References

- Ahmed, A.H.H., Darwish, E., & Alobaidy, M.G. (2017). Impact of putrescine and 24-epibrassinolide on growth, yield and chemical constituents of cotton (*Gossypium barbadense* L.) plant grown under drought stress conditions. *Asian Journal of Plant Sciences*, 16(1), 9-23. <https://doi.org/10.3923/ajps.2017.9.23>
- Ahmed, M.M.R.M., & Sadak, M.Sh. (2016). Effect of putrescine foliar application on Wheat genotypes (*Triticum aestivum* L.) under water stress conditions. *International Journal of Pharmtech Research*, 9(8), 94-102.
- Amooaghaie, R., & Moghym, S. (2011). Effect of polyamines on thermo tolerance and membrane stability of soybean seedling. *African Journal of Biotechnology*, 10, 9673-9679. <https://doi.org/10.5897/ajb10.2446>
- Amri, E., & Mohammadi, M.J. (2012). Effects of timing of drought stress on pomegranate seedlings (*Punica granatum* L. cv 'Atabaki') to exogenous spermidine and putrescine polyamines. *African Journal of Microbiology Research*, 6(25), 5294-5300. <https://doi.org/10.5897/AJMR11.1355>
- Arji, I., Arzani, K., & Mirlatifi, M. (2002). Effect of different irrigation amounts on physiological and anatomical responses of olive (*Olea europaea* L. cv. Zard). *Journal of Soil and Plant Sciences*, 16(1), 112-120. (In Persian with English abstract)
- Bolat, I., Dikilitas, M., Ercisli, S., Ikinici, A., & Tonkaz, T. (2014). The effect of water stress on some morphological, physiological, and biochemical characteristics and bud success on apple and quince rootstocks. *The Scientific World Journal*, 769732, 1-8. <https://doi.org/10.1155/2014/769732>
- Cameron, R.W.F., Harrison- murray, R.S., & Seott, M.A. (1999). The use of controlled water stress to manipulate growth of container- grown Rhododendron CV. Happy. *Journal of Horticultural Science and Biotechnology*, 74, 161-169. <https://doi.org/10.1080/14620316.1999.11511089>
- Chartzoulakis, K., Bosabalidis, A., Patakas, A., & Vemmos, S. (1993). Effect of water stress on water realtions, gas exchange and leaf structure of olive trees. *Acta Horticulturae*, 537, 241-247. <https://doi.org/10.17660/ActaHortic.2000.537.25>
- Downton, W.J., Loveys, B.R., & Grant, W.J.R. (2006). Salinity effects on the stomatal behavior of grapevine. *New Phytology*, 116, 499-503. <https://doi.org/10.1111/j.1469-8137.1990.tb00535.x>
- Duan, J., Li, J., Guo, Sh., & Kang, Y. (2008). Exogenous spermidine affects polyamine metabolism in salinity-stressed *Cucumis sativus* roots and enhances short-term salinity tolerance. *Journal of Plant Physiology*, 165, 1620-1635. <https://doi.org/10.1016/j.jplph.2007.11.006>
- Fifaei, R., Taheri, H., Tajvar, Y., & Gholamian, E. (2022). Effect of water stress on some morphological and physiological characteristics of Citrus natural genotypes seedling. *Journal of Horticultural Science*, 36(1), 103-115. (In Persian with English abstract). <https://doi.org/10.22067/JHS.2021.69052.1027>

12. Fotohi Ghazvini, R.O., & Fatahi Moghadam, J. (2016). *Breeding citrus in Iran*. (4th ed.). Gilan University Press. (In Persian)
13. Gupta, S., Agarwal, V.P., & Gupta, N.K. (2012). Efficacy of putrescine and benzyladenine on photosynthesis and productivity in relation to drought tolerance in wheat (*Triticum aestivum* L.). *Physiology and Molecular Biology of Plants*, 18(4), 331–336. <https://doi.org/10.1007/s12298-012-0123-9>
14. Hasan, M., Skalicky, M., Jahan, M.S., Hossain, M., Anwar, Z., Nie, Z.F., Alabdallah, N.M., Brestic, M., Hejnak, V., & Fang, X.W. (2021). Spermine: Its emerging role in regulating drought stress responses in plants. *Cells*, 10(2), 261. <https://doi.org/10.3390/cells10020261>
15. Hojjatipour, H., & Hassanpour Asil, M. (2022). Effect of gibberellic acid and putrescine on growth, flowering and vase life of Lily cut flower ('Lesotho'). *Journal of Horticultural Science*, 36(1), 163-175. (In Persian with English abstract). <https://doi.org/10.22067/JHS.2021.69012.1025>
16. Hossain, A.B.S., Sears, R.G., Cox, T.S., & Paulses, G.M. (1990). Desiccation tolerance and its relationship to assimilate partitioning in winter wheat. *Crop Science*, 30(3), 622-627. <https://doi.org/10.2135/cropsci1990.0011183X003000030030x>
17. Hu, Y.Y., Zhang, Y.L., Yi, X.P., Zhan, D.X., Luo, H.H., Chow, W.S., & Zhang, W.F. (2013). The relative contribution of non-foliar organs of cotton to yield and related physiological characteristics under water deficit. *Journal of Integrative Agriculture*, 3119(13), 60568-7. [https://doi.org/10.1016/S2095-3119\(13\)60568-7](https://doi.org/10.1016/S2095-3119(13)60568-7)
18. Hussein, M.M., Nadia EL-Gereadly, H.M., & EL-Desuki, M. (2006). Role of putrescine in resistance to salinity of pea plants (*Pisum sativum* L.). *Applied Science Research*, 2(9), 598-604.
19. Ioannidis, N.E., & Kotzabasis, K. (2007). Effects of polyamines on the functionality of photosynthetic membrane in vivo and in vitro. *Biochimica et Biophysica Acta*, 1767, 1372–1382. <https://doi.org/10.1016/j.bbabi.2007.10.002>
20. Kamiab, F., Talaie, A.R., Khezri, M., & Javanshah, A. 2013. Exogenous application of free polyamines enhance salt tolerance of pistachio (*Pistacia vera* L.) seedlings. *Plant Growth Regulators*, 72(3), 257-268. <https://doi.org/10.1007/s10725-013-9857-9>
21. Krouma, A., Fujimura, T., & Abdely, C. (2015). Growth, photosynthetic activity and water relations three Tunisian chickpea genotypes (*Cicer arietinum* L.) subjected to a progressive water deficit stress. *International Research Journal*, 5, 206-214.
22. Lobato, A.K.S., Oliveira Neto, C.F., Santos Filho, B.G., Costa, R.C., Cruz, F.J.R., Neves, H.K.B., & Lopes, M.J.S. (2008). Physiological and biochemical behavior in soybean (*Glycine max*) plants under water deficit. *Australian Journal Crop Science*, 2(1), 25-32.
23. Lopez, F.B., Setter, T.L., & McDavid, C.R. (1988). Photosynthesis and water vapor exchange of pigeonpea leaves in response to water deficit and recovery. *Crop Science*, 28(1), 141-145. <https://doi.org/10.2135/cropsci1988.0011183X002800010030x>
24. Majidiyan, N. (2013). Study some aspects of flower Senescence in Asiatic hybrid lily Seb Dassel. Ph.D. Thesis. Faculty of Agriculture Tehran University, Iran. (In Persian)
25. Mahdavian, M., Sarikhani, H., Hadadinejad, M., & Dehestani, A. (2017). *Biochemical and morphological response of Carrizo citrange and Volkameriana rootstocks to putrescine and water stress*. In I International Conference and X National Horticultural Science Congress of Iran (IrHC2017) 1315 (pp. 55-62)
26. Mahdavian, M., Sarikhani, H., Hadadinejad, M., & Dehestani, A. (2021). Exogenous application of putrescine positively enhances the drought stress response in two citrus rootstocks by increasing expression of stress-related genes. *Journal of Soil Science and Plant Nutrition*, 21(3), 1934-1948. <https://doi.org/10.1007/s42729-021-00491-3>
27. Mohamed, S.A., Ahmed, H.S., & El-Baowab, A.A. (2018). Effect of chitosan, putrescine and irrigation levels on the drought tolerance of sour orange seedlings. *Egyptian Journal of Horticulture*, 45, 257-273. <https://doi.org/10.21608/ejoh.2018.3063.1050>
28. Mullan, D., & Pietragalla, J. (2012). *Physiological breeding II: A field guide to wheat phenotyping*. The International Maize and Wheat Improvement Center, CIMMYT.
29. Nilsen, E.T., & Orcutt, D.M. (1996). *The physiology of plants under stress (Abiotic factors)*. John Wiley and Sons, New York. 689 p.
30. Osuagwu, G.G.E., & Edeoga, H.O. (2012). The influence of water stress (drought) on the mineral and vitamin content of the leaves of *Gongronema latifolium* (Benth). *International Journal of Medicinal and Aromatic Plants*, 2(2), 301-309.
31. Ritchie, S.W., Nguyen, H.T., & Haloday, A.S. (1990). Leaf water content and gas exchange parameters of two wheat genotype differing in drought resistance. *Crop Science*, 30, 105-111. <https://doi.org/10.2135/cropsci1990.0011183X003000010025x>
32. Rubinowska, K., Pogroszewska, E., & Michalek, W. (2012). The effect of polyamines on physiological parameters of post-harvest quality of cut stems of Rosa 'Red Berlin'. *Acta Scientiarum Polonorum Hortorum Cultus*, 11, 81-93.

33. Shafiei, N., Khaleghi, E., & Moallemi, N. (2019). Effect of salicylic acid on some morphological and biochemical characteristics of olive (*Olea europaea* cv. 'Konservalia') under water stress. *Plant Production*, 42(1), 15-30. (In Persian with English abstract). <https://doi.org/10.22055/ppd.2019.22031.1477>
34. Shaimaa, M. (2018). Effect of chitosan, putrescine and irrigation levels on the drought tolerance of sour orange seedlings. *Egyptian Journal of Horticulture*, 45(2), 257-273. <https://doi.org/10.21608/EJOH.2018.3063.1050>
35. Siddique, M.R.B., Hamid, A., & Islam, M.S. (2001). Drought stress effects on water relations of wheat. *Botanical Bulletin of Academia Sinica*, 41, 35-39.
36. Singh Gill, S., & Tuteja, N. (2010). Polyamines and abiotic stress tolerance in plant. *Plant Signaling and Behavior*, 5(1), 26-33. <https://doi.org/10.4161/psb.5.1.10291>
37. Syed Sarfraz, H., Muhammad, A., Maqbool, A., & Kadambot H.M.S. (2011). Polyamines: natural and engineered abiotic and biotic stress tolerance in plants. *Biotechnology Advances*, 29(3), 300-311. <https://doi.org/10.1016/j.biotechadv.2011.01.003>
38. Tie, Z., Bin, P., Feifei, L.I., Xiaochuan, M.A, Mengjing, T., Xuefei, L., Yuanyuan, C., Yuewen, C., & Xiaopeng, L. (2022). Effects of drought stress at enlargement stage on fruit quality formation of Satsuma mandarin and the law of water absorption and transportation in tree after re-watering. *Acta Horticulturae Sinica*, 49(1), 11-22. <https://doi.org/10.16420/j.issn.0513-353x.2021-0040>
39. Toupchi Khosrowshahi, Zh., & Slehi-Lisar, S.Y. (2018). Physiological responses of safflower to exogenous putrescine under water deficit. *Journal of Stress Physiology & Biochemistry*, 14(3), 38-48.
40. Tripoli, E., La Guardia, M., Giammanco, S., Di Majo, D., & Giammanco, M. (2007). Citrus flavonoids: Molecular structure, biological activity and nutritional properties: A review *Food Chemistry*, 104(2), 466-479. <https://doi.org/10.1016/j.foodchem.2006.11.054>
41. Wu, Q.S., & Zou, Y.N. (2009). Mycorrhizal influence on nutrient uptake of citrus exposed to drought stress. *Philippin Agriculture Scientist*, 92(1), 33-38.
42. Yin, Z.P., Li, S., Ren, J., & Song, X.S. (2014). Role of spermidine and spermine in alleviation of drought-induced oxidative stress and photosynthetic inhibition in Chinese dwarf cherry (*Cerasus humilis*) seedlings. *Plant Growth Regulation*, 74(3), 209-218. <https://doi.org/10.1007/s10725-014-9912-1>
43. Yordanov, I., Velikova, V., & Tsoev, T. (2000). Plant responses to drought, acclimation and stress tolerance. *Journal of Photosynthetic*, 38(2), 171-186. <https://doi.org/10.1023/A:1007201411474>
44. Zandalinas, S.I., Rivero, R.M., Martínez, V., Gómez-Cadenas, A., & Arbona, V. (2016). Tolerance of citrus plants to the combination of high temperatures and drought is associated to the increase in transpiration modulated by a reduction in abscisic acid levels. *BMC Plant Biology*, 16, 105. <https://doi.org/10.1186/s12870-016-0791-7>
45. Zhang, K., & John, P.C.L. (2005). Raised level of cyclin dependent kinase after prolonged suspension culture of *Nicotiana plumbaginifolia* is associated with more rapid growth and division, diminished cytoskeleton and lost capacity for regeneration: implications for instability of cultured plant cells. *Plant Cell, Tissue Organ Culture*, 82(3), 295-308. <https://doi.org/10.1007/s11240-005-1542-x>
46. Zhang, R.H., Li, J., & Guo, S.R. (2009). Effects of exogenous putrescine on gas-exchange characteristics and chlorophyll fluorescence of NaCl-stressed cucumber seedlings. *Photosynthesis Research*, 100, 155-162. <https://doi.org/10.1007/s1120-009-9441-3>